

同軸圓柱系統微變問題的靜電解*

石 寿 林

我們从一种較為特殊但又是十分典型的同軸結構的探討开始，它的截面在极坐标系中(原点置于軸心)具有

$$\rho_1 = r_1(1 + \epsilon_1 \cos n\varphi), \quad \rho_2 = r_2(1 + \epsilon_2 \cos(\varphi - \varphi_0)). \quad (1)$$

其中 r_1 和 r_2 系变形前外的导体因截面半径; ϵ_1 和 ϵ_2 则为表征其变形特点的小参数; φ_0 表示相似变形后内外导体叉开的一个角度; 而 n 为某一正整数。象这样的同軸系統, 不妨形象化称为“ n 波”同軸系統。

我們知道, 二維拉普拉斯方程的环內問題, 在极坐标系中的一般解可以用圓諧函数来組合^[1]:

$$V(r, \varphi) = A_0 + B_0 \ln r + \sum_{m=1}^{\infty} \{ (A_m r^m + B_m r^{-m}) \cos m\varphi + (C_m r^m + D_m r^{-m}) \sin m\varphi \}, \quad (2)$$

其中 A_0, B_0 和 A_m, B_m, C_m 及 D_m ($m = 1, 2, \dots$) 系由内外导体上边界条件

$$V|_{r=\rho_1} = 0, \quad V|_{r=\rho_2} = V_a \quad (3)$$

来确定的积分常数。由于理想系統变形的結果, 它們可以展开为小参数 ϵ_1 和 ϵ_2 的級数

$$\left. \begin{aligned} A_m &= \sum_{i+j=0}^{\infty} a_{mij} \epsilon_1^i \cdot \epsilon_2^j, & B_m &= \sum_{i+j=0}^{\infty} b_{mij} \epsilon_1^i \cdot \epsilon_2^j, \\ C_m &= \sum_{i+j=0}^{\infty} c_{mij} \epsilon_1^i \cdot \epsilon_2^j, & D_m &= \sum_{i+j=0}^{\infty} d_{mij} \epsilon_1^i \cdot \epsilon_2^j. \end{aligned} \right\} \quad (m = 0, 1, 2, \dots) \quad (4)$$

如果把把这个表达式連同式(2)一起代入边界条件(3), 将可以定出級数展开中的諸系数 $a_{mij}, b_{mij}, c_{mij}, d_{mij}$ 。在一次近似下边值問題的解

$$V(r, \varphi) = \frac{V_a}{\ln \frac{r_2}{r_1}} \left\{ \ln \frac{r}{r_1} + \frac{1}{1 - \left(\frac{r_2}{r_1}\right)^{2n}} \left[-\epsilon_1 \left(\frac{r}{r_1}\right)^n \left(1 - \left(\frac{r_2}{r}\right)^{2n}\right) \cos n\varphi - \epsilon_2 \left(\frac{r_2}{r}\right)^n \left(1 - \left(\frac{r}{r_1}\right)^{2n}\right) \cos n(\varphi - \varphi_0) \right] \right\}, \quad (5)$$

而电位函数(5)又可以取作如下复数电位函数的实部:

$$W = V + jV = \frac{V_a}{\ln \frac{r_2}{r_1}} \left\{ \ln \frac{z}{r_1} + \frac{1}{1 - \left(\frac{r_2}{r_1}\right)^{2n}} \cdot \left[-\epsilon_1 \left(\frac{z}{r_1}\right)^n \left(1 - \left(\frac{z}{r_2}\right)^{-2n}\right) - \epsilon_2 \left(\frac{z}{r_2} e^{-j\varphi_0}\right)^{-n} \left(1 - \left(\frac{z}{r_1} e^{-j\varphi_0}\right)^{2n}\right) \right] \right\}. \quad (6)$$

* 1963 年 4 月 10 日收到。

因而通量函数及由此求得同轴系统单位长度上的电容^[1]

$$V(r, \varphi) = \frac{V_a}{\ln \frac{r_2}{r_1}} \left\{ \varphi + \frac{1}{1 - \left(\frac{r_2}{r_1}\right)^{2n}} \left[-\varepsilon_1 \left(\frac{r}{r_1}\right)^n \left(1 + \left(\frac{r_2}{r}\right)^{2n}\right) \sin n\varphi + \varepsilon_2 \left(\frac{r_2}{r}\right)^n \left(1 + \left(\frac{r}{r_1}\right)^{2n}\right) \sin n(\varphi - \varphi_0) \right] \right\} \quad (7)$$

及

$$C = \frac{\epsilon |V(2\pi) - V(0)|}{|V_a|} = \frac{2\pi\epsilon}{\ln \frac{r_1}{r_2}}, \quad (8)$$

其中 ϵ 为内外导体间所填充的媒质的介电常数。这最后一个表达式说明了在一次近似下同轴系统的这种特殊变形对于单位长度上的电容并无影响。以后还将看到，只要变形前后其平均半径不变这一结论总是对的，变形后同轴系统中电位梯度的绝对值

$$E = \left| \frac{dW}{dz} \right| = \left| \frac{V_a}{z \ln \frac{r_2}{r_1}} \left\{ 1 + \frac{n}{1 - \left(\frac{r_2}{r_1}\right)^{2n}} \left[-\varepsilon_1 \left(\frac{z}{r_1}\right)^n \left(1 + \left(\frac{z}{r_2}\right)^{-2n}\right) + \varepsilon_2 \left(\frac{z}{r_2} e^{-j\varphi_0}\right)^{-n} \left(1 + \left(\frac{z}{r_1} e^{-j\varphi_0}\right)^{2n}\right) \right] \right\} \right| \quad (9)$$

现在我们来研究几个常见的截面变形作为应用举例：

(1) 同轴圆柱系统的椭化

同轴圆柱系统的椭化，文献[2]中曾在共焦的假定下借助于复变函数论方法进行了研究，用这里已给出的方法，能够得到类似的结果，但并不要求这种过苛的“共焦”假定，而且

允许两椭圆长轴间有一个夹角 φ_0 。若令 e_1 和 e_2 分别为内外导体椭化后之椭圆率，并定义其等效圆之半径分别为（见图 1）

$$r_1 = \frac{a_1 + b_1}{2}, \quad r_2 = \frac{a_2 + b_2}{2},$$

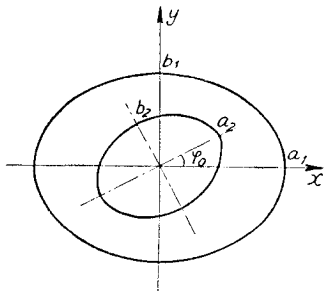


图 1

其中 a_1, b_1 和 a_2, b_2 分别为与其等效圆相应的椭圆的长短轴。可以证明这个定义与另一种假定变形前后周长相等的定义在 e^2 级上是等效的，因此这样的定义较文献[2]中的定义要合理些。这样在极坐标系统中，两椭圆的方程

$$\left. \begin{aligned} \rho_1 &= a_1 \sqrt{1 - e_1^2 \sin^2 \varphi} = r_1 \left\{ 1 + \frac{1}{4} e_1^2 \cos 2\varphi + \dots \right\}, \\ \rho_2 &= a_2 \sqrt{1 - e_2^2 \sin^2 \varphi} = r_2 \left\{ 1 + \frac{1}{4} e_2^2 \cos 2\varphi + \dots \right\}. \end{aligned} \right\} \quad (10)$$

当略去其中关于椭圆率二次方以上的各项，并令 $\varepsilon_1 = \frac{1}{4} e_1^2$, $\varepsilon_2 = \frac{1}{4} e_2^2$ ，可以看出，这正是(1)式中 $n = 2$ 的一个特例。故

$$V(r, \varphi) = \frac{V_a}{\ln \frac{r_2}{r_1}} \left\{ \ln \frac{r}{r_1} + \frac{1}{1 - \left(\frac{r_2}{r_1}\right)^4} \left[-\frac{1}{4} e_1^2 \left(\frac{r}{r_1}\right)^2 \left(1 - \left(\frac{r_2}{r}\right)^4\right) \cos 2\varphi - \right. \right.$$

$$-\frac{1}{4} e_2^2 \left(\frac{r_2}{r}\right)^2 \left(1 - \left(\frac{r}{r_1}\right)^4\right) \cos 2(\varphi - \varphi_0) \Bigg\} \Bigg\} \quad (11)$$

当 $r_2/r_1 \ll 1$ 时, 这样在我們分析同軸系統內导体表面电位梯度最大值时, 式(9)中的第一項將可以略去

$$E_{\max} = \frac{V_a}{r_2 \ln \frac{r_1}{r_2} \cdot \left(1 + \frac{e_2^2}{4}\right)} \cdot \left\{ 1 + \frac{1}{1 - \left(\frac{r_2}{r_1}\right)^4} \cdot \frac{1}{2} e_2^2 \left[1 - \left(\frac{r_2}{r_1}\right)^4 \left(1 + \frac{1}{4} e_2^2 \right)^4 \right] \left(1 + \frac{e_2^2}{4} \right)^{-2} \right\} \doteq E_0 \left(1 + \frac{e_2^2}{4} \right) \quad (12)$$

其中 $E_0 = \frac{V_a}{r_2 \ln \frac{r_1}{r_2}}$, 而最大电位梯度的变化率

$$\Delta E/E_0 = e_2^2/4 \quad (13)$$

在一次近似下, 单位长度上的电容沒有变化:

$$C = 2\pi\epsilon/\ln \frac{r_1}{r_2} \quad (14)$$

这些結果同文献[2]中相比, 若等效圓取一致的定义將完全一样。

(2) 同軸圓柱系統的偏心

关于偏心問題的研究, 原則上借助于“电軸法”可以精确求解^[2]。但也可以用这里給出的方法进行分析。若將极坐标原点置于內导体的軸心, 令 d_0 为偏心距, 偏心率 $\delta = d_0/r_1$, 則两圓的方程

$$\begin{aligned} \rho_2 &= r_2, \\ \rho_1 &= \sqrt{r_1^2 - d_0^2 \sin^2 \varphi} - d_0 \cos \varphi = \\ &= r_1 \left\{ 1 - \delta_1 \cos \varphi - \frac{\delta_1^2}{4} (1 - \cos 2\varphi) + \dots \right\}, \end{aligned}$$

在 δ_1 一次近似下, 若令 $\epsilon_1 = -\delta_1$ ($\epsilon_2 = 0$), 这将是式(1)中 $n = 1$ 的一个特殊情况。从而, 同軸系統电位函数、最大电位梯度及其变化率分别为

$$V(r, \varphi) = \frac{V_a}{\ln \frac{r_2}{r_1}} \left\{ \ln \frac{r}{r_1} + \frac{1}{1 - \left(\frac{r_2}{r_1}\right)^2} \left[\delta_1 \cdot \left(\frac{r}{r_1}\right) \left(1 + \left(\frac{r_2}{r}\right)^2 \right) \right] \cos \varphi \right\}, \quad (15)$$

$$E_{\max} = \frac{-V_a}{r_2 \ln \frac{r_2}{r_1}} \left\{ 1 + \frac{2}{1 - \left(\frac{r_2}{r_1}\right)^2} \cdot \frac{r_2}{r_1} \cdot \delta_1 \right\} = E_0 \left\{ 1 + \frac{2}{1 - \left(\frac{r_2}{r_1}\right)^2} \cdot \frac{r_2}{r_1} \cdot \delta_1 \right\} \quad (16)$$

及

$$\Delta E/E_0 = \frac{2}{1 - \left(\frac{r_2}{r_1}\right)^2} \cdot \frac{r_2}{r_1} \cdot \delta_1 \quad (17)$$

当 $r_2/r_1 \ll 1$ 时,

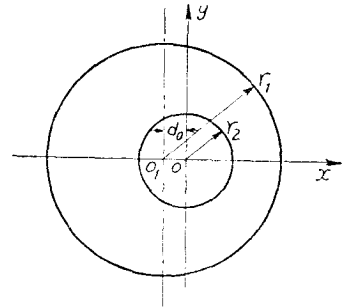


图 2

$$\Delta E/E_0 = 2 \cdot \frac{r_2}{r_1} \delta_1 = 2 \cdot \frac{r_2}{r_1^2} d_0, \quad (17')$$

而单位长度上的电容亦无变化。这同文献[2]的精确解在一次近似下也是一致的,但在該文中,最大电位梯度变化率前少了一个系数“2”可能是計算上的疏忽。

(3) 关于“毛刺”的討論

圓柱导体表面“毛刺”的存在几乎是难免的,而且是形形色色的,我們要想就各种类型的“毛刺”逐一地研究是不可能的,而就应用的角度來說,我們又不能不予以必要的考虑。

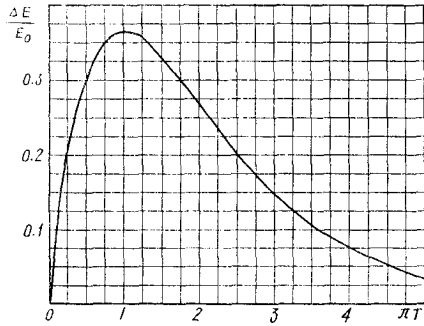


图 3

本节想通过对一种理想的即所謂“均匀分布的毛刺”的分析来揭示在毛刺尖端的某些物理过程。作为“毛刺”大小尖锐程度的描写我們定义一个表面不平度 T , 它是圓柱面上凸起部分的高度 Δh 与其底寬 Δs 之比, 对于前面談到的“ n 波”同軸系統 $T = \frac{\Delta h}{\Delta s} = n \cdot \frac{\varepsilon}{\pi}$ 。当令 $n \rightarrow \infty$ 保持 T 为有限值时, 則柱面上这样一种特殊的起伏将可以看成一种特殊的均匀分布的纵向毛刺。在內导体表面, 毛刺的尖端引起电場的集中, 当 $r_2/r_1 \ll 1$, 略去式(9)中的第一項,

$$E_{\max} = E_0 \frac{1 + n\varepsilon_2(1 + \varepsilon_2)^{-n}}{1 + \varepsilon_2} \Big|_{n \rightarrow \infty} = E_0(1 + \pi T e^{-\pi T}),$$

从而电位梯度的变化率

$$\Delta E/E_0 = \pi T \cdot e^{-\pi T}, \quad (18)$$

它仅仅作为圓柱表面不平度的函数, 且当 $T = \frac{1}{\pi}$ 时, 出現一个极大值 $\Delta E/E_0 = e^{-1} = 0.368$ (見图 3)。(对于外导体也有同样的結論。)

二

本节将着重于对已給出的这种小参数与圓諧函数結合展开方法进一步发展的可能性进行探討。实际上对于同軸系統更一般的变形可以借傅里叶級数来展开:

$$\left. \begin{aligned} \rho_1 &= r_1 \left\{ 1 + \varepsilon_1 \left[a_{01} + \sum_{n=1}^{\infty} (a_{n1} \cos n\varphi + b_{n1} \sin n\varphi) \right] \right\}, \\ \rho_2 &= r_2 \left\{ 1 + \varepsilon_2 \left[a_{02} + \sum_{n=1}^{\infty} (a_{n2} \cos n\varphi + b_{n2} \sin n\varphi) \right] \right\}. \end{aligned} \right\} \quad (19)$$

若令 $r'_1 = r_1(1 + \varepsilon_1 a_{01})$, $r'_2 = r_2(1 + \varepsilon_2 a_{02})$ 及 $\varepsilon'_1 = \varepsilon_1 \cdot \frac{r_1}{r'_1}$, $\varepsilon'_2 = \varepsilon_2 \cdot \frac{r_2}{r'_2}$, 則

$$\left. \begin{aligned} \rho_1 &= r'_1 \left\{ 1 + \varepsilon'_1 \sum_{n=1}^{\infty} (a_{n1} \cos n\varphi + b_{n1} \sin n\varphi) \right\}, \\ \rho_2 &= r'_2 \left\{ 1 + \varepsilon'_2 \sum_{n=1}^{\infty} (a_{n2} \cos n\varphi + b_{n2} \sin n\varphi) \right\}. \end{aligned} \right\} \quad (20)$$

不难作出結論, 对于这样的微變同軸系統靜電問題的一般解, 在一次近似下將具有如下的形式:

$$V(r, \varphi) = \frac{V_a}{\ln \frac{r'_2}{r'_1}} \left\{ \ln \frac{r}{r'_1} + \sum_{n=1}^{\infty} \frac{1}{1 - \left(\frac{r'_2}{r'_1}\right)^{2n}} \left[-\left(\frac{r}{r'_1}\right)^n \left(1 - \left(\frac{r'_2}{r}\right)^{2n}\right) \varepsilon'_1 (a_{n1} \cos n\varphi + b_{n1} \sin n\varphi) - \left(\frac{r'_2}{r}\right)^n \left(1 - \left(\frac{r}{r'_1}\right)^{2n}\right) \varepsilon'_2 (a_{n2} \cos n\varphi + b_{n2} \sin n\varphi) \right] \right\}. \quad (21)$$

同样电位函数(21)可以取作如下复数电位函数的实部:

$$W = V + jV = \frac{V_a}{\ln \frac{r'_2}{r'_1}} \left\{ \ln \frac{z}{r'_1} + \sum_{n=1}^{\infty} \frac{1}{1 - \left(\frac{r'_2}{r'_1}\right)^{2n}} \left[-\varepsilon'_1 \alpha_{n1} \left(\left(\frac{z}{r'_1} e^{-j\varphi_{n10}}\right)^n - \left(\frac{r'_2}{r'_1}\right)^n \left(\frac{z}{r'_2} e^{-j\varphi_{n10}}\right)^{-n} \right) + \varepsilon'_2 \alpha_{n2} \left(\left(\frac{r'_2}{r'_1}\right)^n \left(\frac{z}{r'_1} e^{-j\varphi_{n20}}\right)^n - \left(\frac{z}{r'_2} e^{-j\varphi_{n20}}\right)^{-n} \right) \right] \right\}, \quad (22)$$

其中 $\alpha_{n1} = \sqrt{a_{n1}^2 + b_{n1}^2}$, $\alpha_{n2} = \sqrt{a_{n2}^2 + b_{n2}^2}$; $\varphi_{n10} = \text{tg}^{-1} \frac{b_{n1}}{a_{n1}}$, $\varphi_{n20} = \text{tg}^{-1} \frac{b_{n2}}{a_{n2}}$. 从而可以求出通量函数及其单位长度上的电容:

$$V = \frac{V_a}{\ln \frac{r'_2}{r'_1}} \left\{ \varphi + \sum_{n=1}^{\infty} \frac{1}{1 - \left(\frac{r'_2}{r'_1}\right)^{2n}} \left[-\varepsilon'_1 \alpha_{n1} \left(\left(\frac{r}{r'_1}\right)^n + \left(\frac{r'_2}{r'_1}\right)^n \left(\frac{r}{r'_2}\right)^{-n} \right) \sin n(\varphi - \varphi_{n10}) + \varepsilon'_2 \alpha_{n2} \left(\left(\frac{r'_2}{r'_1}\right)^n \left(\frac{r}{r'_1}\right)^n + \left(\frac{r}{r'_2}\right)^{-n} \right) \sin n(\varphi - \varphi_{n20}) \right] \right\} \quad (23)$$

及

$$C = 2\pi \cdot \frac{\varepsilon}{\ln \frac{r'_1}{r'_2}}. \quad (24)$$

这表明同軸系統单位长度上的电容量仅取决于变形前后其平均半径的比值 r'_1/r'_2 . 如果这个比值不变, 则其量值也无变化(指在一次近似下). 而变形后电位梯度的绝对值将取

$$E = \left| \frac{dW}{dz} \right| = \left| \frac{V_a}{z \ln \frac{r'_2}{r'_1}} \left\{ 1 + \sum_{n=1}^{\infty} \frac{1}{1 - \left(\frac{r'_2}{r'_1}\right)^{2n}} \left[-\varepsilon'_1 \alpha_{n1} \left(\left(\frac{z}{r'_1} e^{-j\varphi_{n10}}\right)^n - \left(\frac{r'_2}{r'_1}\right)^n \left(\frac{z}{r'_2} e^{-j\varphi_{n10}}\right)^{-n} \right) + \varepsilon'_2 \alpha_{n2} \left(\left(\frac{r'_2}{r'_1}\right)^n \left(\frac{z}{r'_1} e^{-j\varphi_{n20}}\right)^n - \left(\frac{z}{r'_2} e^{-j\varphi_{n20}}\right)^{-n} \right) \right] \right\} \right|. \quad (25)$$

現在再讓我們利用这些普遍結果来討論一个有用的实例: 关于存在在外导体表面具有高度为 h_1 、底寬为 $2r_1\varphi_{10}$ 的一种孤立毛刺的探討. 为了改善傅里叶級数的收敛性, 假定它具有如下形式:

$$\rho_1 = r_1 \left[1 - \varepsilon_1 \left(1 - \left(\frac{\varphi}{\varphi_{10}} \right)^2 \right) \right]^2, \quad (\text{当 } 0 \leq |\varphi| \leq \varphi_{10});$$

$$\rho_1 = r_1 \quad (\text{当 } \varphi_{10} \leq |\varphi| \leq \pi).$$

并假定内导体没有变形 $\rho_2 = r_2$. 借助于傅氏级数外导体可以展开

$$\rho_1 = r_1' \left\{ 1 + \sum_{n=1}^{\infty} \varepsilon_1' \cdot \frac{16}{n^3 \varphi_{10}^3} \left(\sin n\varphi_{10} + \frac{3}{n\varphi_{10}} \cos n\varphi_{10} - \frac{3}{n^2 \varphi_{10}^2} \sin n\varphi_{10} \right) \cos n\varphi \right\},$$

其中 $\varepsilon_1 = \frac{k_1}{r_1}$, $r_1' = r_1 \left(1 - \frac{8}{15} \cdot \frac{\varphi_{10}}{\pi} \varepsilon_1 \right)$, $\varepsilon_1' = \frac{r_1}{r_1'} \varepsilon_1$. 从而系统的电位函数、最大电位梯度及其变化率分别将有

$$V(r, \varphi) = \frac{V_a}{\ln \frac{r_2}{r_1}} \left\{ \ln \frac{r}{r_1} + \sum_{n=1}^{\infty} \frac{1}{1 - \left(\frac{r_2}{r_1'} \right)^{2n}} \left[- \left(\frac{r}{r_1'} \right)^n \left(1 - \left(\frac{r_2}{r_1'} \right)^{2n} \right) \varepsilon_1' \frac{\varphi_{10}}{\pi} \cdot \frac{16}{n^3 \varphi_{10}^3} \cdot \left(\sin n\varphi_{10} + \frac{3}{n\varphi_{10}} \cos n\varphi_{10} - \frac{3}{n^2 \varphi_{10}^2} \sin n\varphi_{10} \right) \cos n\varphi \right] \right\}, \quad (26)$$

$$E_{\max} = \frac{-V_a}{r_2 \ln \frac{r_2}{r_1}} \left\{ 1 + \sum_{n=1}^{\infty} \frac{-n}{1 - \left(\frac{r_2}{r_1'} \right)^{2n}} \left[2 \left(\frac{r_2}{r_1'} \right)^n \cdot \varepsilon_1' \cdot \frac{\varphi_{10}}{\pi} \cdot \frac{16}{n^3 \varphi_{10}^3} \left(\sin n\varphi_{10} + \frac{3}{n\varphi_{10}} \cos n\varphi_{10} - \frac{3}{n^2 \varphi_{10}^2} \sin n\varphi_{10} \right) \right] \right\} \doteq E_0 (1 + \varepsilon_1 \cdot f(\varphi_{10})) \quad (27)$$

及

$$\Delta E/E_0 = \varepsilon_1 \cdot f(\varphi_{10}), \quad (28)$$

其中 $f(\varphi_{10})$ 仅作为与毛刺底宽有关的函数:

$$f(\varphi_{10}) = \frac{8}{15} \cdot \frac{\varphi_{10}}{\pi \ln \frac{r_1}{r_2}} - \sum_{n=1}^{\infty} \frac{32}{1 - \left(\frac{r_2}{r_1'} \right)^{2n}} \left(\frac{r_2}{r_1'} \right)^n \cdot \frac{r_1}{r_1'} \cdot \frac{1}{\pi n^2 \varphi_{10}^2} \left(\sin n\varphi_{10} + \frac{3}{n\varphi_{10}} \cos n\varphi_{10} - \frac{3}{n^2 \varphi_{10}^2} \sin n\varphi_{10} \right).$$

对于该同轴系统单位长度上的电容及其变化率分别有

$$C = \frac{2\pi\varepsilon'}{\ln \frac{r_1}{r_2}} \doteq \frac{2\pi\varepsilon}{\ln \frac{r_1}{r_2}} \left\{ 1 + \frac{8}{15} \cdot \varepsilon_1 \cdot \frac{\varphi_{10}}{\pi \ln \frac{r_1}{r_2}} \right\} \text{ 及 } \Delta C/C_0 = \frac{8}{15} \cdot \frac{\varphi_{10}}{\pi \ln \frac{r_1}{r_2}} \varepsilon_1, \quad (29)$$

其中 $C_0 = \frac{2\pi\varepsilon}{\ln \frac{r_1}{r_2}}$ 为理想同轴系统单位长度上的电容量.

参 考 文 献

- [1] Smythe, W. R., Static and Dynamic Electricity (1939), §4.01, §4.11.
 [2] 林为干、徐秉静, 电讯科学, 2 (1956), 39.